

两种 4-溴苯甲酸铽配合物的合成、晶体结构及性质

吴小说 王春燕 李夏*

(首都师范大学化学系, 北京 100037)

摘要: 合成了两种双核铽配合物 $[\text{Tb}(4\text{-BrBA})_2(\text{Phen})(\text{NO}_3)]_2$ (**1**) 和 $[\text{Tb}(4\text{-BrBA})_3(2,2'\text{-bipy})(\text{H}_2\text{O})]_2 \cdot 2\text{H}_2\text{O}$ (**2**) ($4\text{-BrBA} = 4\text{-溴苯甲酸根}$, $\text{Phen} = 1,10\text{-邻菲咯啉}$, $2,2'\text{-bipy} = 2,2'\text{-联吡啶}$), 并用 X-射线单晶衍射结构分析方法测定了其晶体结构。这 2 种配合物均是具有反演中心的二聚体。在四元混配配合物 **1** 中, 2 个 Tb^{3+} 离子被 4 个 4-溴苯甲酸根以双齿桥联和三齿桥联两种方式联结; 每个 Tb^{3+} 离子与邻菲咯啉的 2 个氮原子、硝酸根的 2 个氧原子和 4 个桥联 4-溴苯甲酸根的 5 个氧原子配位; Tb^{3+} 离子的配位数为 9。在配合物 **2** 中, 2 个 Tb^{3+} 离子被 4 个 4-溴苯甲酸根以双齿桥联方式联结; 每个 Tb^{3+} 离子与 2,2'-联吡啶的 2 个氮原子、水分子的 1 个氧原子、4 个双齿桥联 4-溴苯甲酸根的 4 个氧原子以及 1 个单齿配位 4-溴苯甲酸根的 1 个氧原子配位; Tb^{3+} 离子的配位数为 8。配合物 **2** 中游离水分子与配位水分子以及 4-溴苯甲酸根之间形成了氢键, 氢键将双核分子 **2** 连接成一维链状结构。配合物 **1** 和 **2** 在紫外灯照射下均发出强烈的绿光, 它们的荧光光谱在 490, 545, 585 和 621 nm 处出现 4 条谱线, 这是由 Tb^{3+} 离子的 $^5D_4 \rightarrow ^7F_j$ ($j=6\sim3$) 跃迁产生的。

关键词: 铪配合物; 4-溴苯甲酸; 晶体结构

中图分类号: O614.341

文献标识码: A

文章编号: 1001-4861(2008)01-0021-06

Synthesis, Crystal Structure and Properties of Two Terbium Complexes with 4-bromobenzoic Acid

WU Xiao-Shuo WANG Chun-Yan LI Xia*

(Department of Chemistry, Capital Normal University, Beijing 100037)

Abstract: Two dinuclear complexes $[\text{Tb}(4\text{-BrBA})_2(\text{Phen})(\text{NO}_3)]_2$ (**1**) $[\text{Tb}(4\text{-BrBA})_3(2,2'\text{-bipy})(\text{H}_2\text{O})]_2 \cdot 2\text{H}_2\text{O}$ (**2**) ($4\text{-BrBA} = 4\text{-bromobenzoate}$, $\text{Phen} = 1,10\text{-phenanthroline}$, $2,2'\text{-bipy} = 2,2'\text{-bipyridine}$) have been obtained. The two complexes were characterized by X-ray single-crystal diffraction. The two complexes are dimer with an inversion center. In complex **1**, two Tb^{3+} ions are linked by 4-BrBA ligands in bridging-bidentate and bridging-chelating coordination modes. Each Tb^{3+} ion is nine-coordinated with two nitrogen atoms of Phen molecule, two oxygen atoms of nitrate and five oxygen atoms of four 4-BrBA ligands. In complex **2**, two Tb^{3+} ions are linked by 4-BrBA ligands in bridging-bidentate coordination mode. Each Tb^{3+} ion is eight-coordinated with two nitrogen atoms of 2,2'-bipy molecule, one oxygen atom of water molecule, four oxygen atoms of four bridging-bidentate 4-BrBA ligands and one oxygen atom of monodentate 4-BrBA ligand. In complex **2**, hydrogen bonds are formed between free water molecules, coordinated water molecules and 4-BrBA ligands, and the 1-D chain structure is formed by hydrogen bonds. The two complexes exhibit strong green fluorescence under ultraviolet light and the fluorescence spectrums both have four peaks at 490, 545, 585, and 621 nm, the emission caused by $^5D_4 \rightarrow ^7F_j$ ($j=6\sim3$) transitions of Tb^{3+} ion. CCDC: 667570, **1**; 667571, **2**.

Key words: terbium complexes; 4-bromobenzoic acid; crystal structure

收稿日期: 2007-06-21。收修改稿日期: 2007-11-08。

北京市自然科学基金项目资助(No.2073022)。

*通讯联系人。E-mail: xiali@mail.cnu.edu.cn

第一作者: 吴小说, 女, 22岁, 硕士研究生; 研究方向: 无机化学和稀土配合物。

铽的配合物往往表现出很好的绿色荧光,因此被广泛研究^[1-5]。稀土羧酸配合物具有较好的稳定性和发光性能,是一类有着较好应用前景的稀土有机发光材料。而将氮杂环配体如邻菲咯啉(Phen)、2,2'-联吡啶(2,2'-bipy)引入稀土羧酸配合物中形成多元混配配合物,可以提高配合物的发光强度^[4-8]。苯甲酸及其衍生物在结构上具有一定的刚性和稳定性,芳香环上引入不同的取代基团可使其配合物的晶体结构多种多样。我们实验室以卤代苯甲酸为配体合成了系列稀土配合物,如铽与邻氟苯甲酸、邻菲咯啉或2,2'-联吡啶形成的配合物,在它们的不对称结构单元中分别存在2种和3种晶体学上不等同的双核分子^[4];而在铽与邻碘苯甲酸、2,2'-联吡啶形成的配合物的不对称结构单元中存在两种不同结构的双核分子;配合物[Tb(2-BrBA)₂(CH₃COO)(2,2'-bipy)]₂和[Tb(3-BrBA)₃(2,2'-bipy)]₂·(3-HBrBA)·(H₂O)(2-BrBA=2-溴苯甲酸根,3-BrBA=3-溴苯甲酸根)均是8配位的双核分子^[5]。为了进一步探讨卤代苯甲酸为配体的稀土配合物的结构特点,我们选择4-溴苯甲酸为配体,合成了两种新的铽配合物,[Tb(4-BrBA)₂(Phen)(NO₃)]₂(1)和[Tb(4-BrBA)₃(2,2'-bipy)(H₂O)]₂·2H₂O(2)。在此,我们报道这两种配合物的晶体结构和配合物的热分析及荧光性质。

1 实验部分

1.1 实验材料与仪器

4-溴苯甲酸,1,10-邻菲咯啉,2,2'-联吡啶均为分析纯试剂。Tb(NO₃)₃·6H₂O由纯度为99.99%的

Tb₄O₇与硝酸反应制得。TbCl₃·6H₂O由纯度为99.99%的Tb₄O₇与盐酸反应制得。

北京普析通用TU-1810型紫外-可见分光光度计;日立F-4500型荧光分光光度仪;WCT-1A型微热-差热天平(北京光学仪器厂)。

1.2 配合物的合成

取1.2 mmol 4-溴苯甲酸和0.4 mmol 1,10-邻菲咯啉溶于25 mL乙醇中,用2 mol·L⁻¹NaOH溶液调节该混合溶液的pH值约为5。然后将0.4 mmol Tb(NO₃)₃·6H₂O的乙醇溶液慢慢加入,搅拌约2 h后过滤,滤液室温放置。1周后,得到配合物1的单晶体。以TbCl₃·6H₂O代替Tb(NO₃)₃·6H₂O,以2,2'-联吡啶代替1,10-邻菲咯啉,用同样的方法得到配合物2的单晶体。

1.3 配合物的晶体结构测定

选取0.24 mm×0.20 mm×0.18 mm(1)和0.20 mm×0.20 mm×0.10 mm(2)的配合物单晶,使用Bruker Smart 1000 CCD X-射线单晶衍射仪,采用经石墨单色器单色化的Mo K α ($\lambda=0.071\text{073 nm}$)辐射作为光源,在296(2) K温度下收集衍射数据,晶体结构由直接法解出。由理论加氢法确定氢原子的坐标。对氢原子和非氢原子分别采用各向同性和各向异性温度因子进行全矩阵最小二乘法修正。全部计算采用SHELX-97程序包完成。配合物的晶体学数据列于表1中,主要键长和键角分别列于表2和表3中。

CCDC:667570,1;667571,2。

表1 配合物的晶体数据
Table 1 Crystal data of complexes

Complex	1	2
Empirical formula	C ₅₂ H ₃₂ Br ₄ N ₆ O ₁₄ Tb ₂	C ₆₂ H ₄₈ Br ₆ N ₄ O ₁₆ Tb ₂
Formula weight	1602.32	1902.3
Crystal system	Triclinic	Triclinic
Space group	P $\bar{1}$	P $\bar{1}$
a / nm	1.061 19(2)	0.822 79(2)
b / nm	1.067 82(2)	1.331 50(3)
c / nm	1.296 34(3)	1.588 67(4)
α / (°)	87.107(10)	74.046 0(10)
β / (°)	72.334(10)	79.017 0(10)
γ / (°)	82.285(10)	74.638 0(10)
Volume / nm ³	1.386 94(5)	1.600 58(7)
Z	1	1
Calculated density / (Mg·m ⁻³)	1.918	1.974

续表1

Absorption coefficient / mm ⁻¹	5.479	6.007
F(000)	768	916
Crystal size / mm	0.24 × 0.20 × 0.18	0.20 × 0.20 × 0.10
θ range for data collection / (°)	1.92~28.31	1.85~28.31
Limiting indices	-12 ≤ h ≤ 12, -12 ≤ k ≤ 10, -14 ≤ l ≤ 15	-10 ≤ h ≤ 10, -17 ≤ k ≤ 17, -21 ≤ l ≤ 20
Reflections collected / unique (R_{int})	21 642 / 6 819 (0.039 7)	23 2273 / 7 891 (0.036 3)
Completeness to $\theta=25.05^\circ$, 28.31° / %	99.5	99.1
Data / restraints / parameters	6 819 / 29 / 352	7 892 / 6 / 422
Goodness-of-fit on F^2	1.021	1.027
Final R indices [$I>2\sigma(I)$]	$R_1=0.041\ 4$, $wR_2=0.085\ 7$	$R_1=0.055\ 4$, $wR_2=0.096\ 3$
R indices (all data)	$R_1=0.056\ 6$, $wR_2=0.092\ 2$	$R_1=0.038\ 7$, $wR_2=0.082\ 8$

表2 配合物1的主要键长和键角

Table 2 Selected bond lengths (nm) and angles (°) for complex 1

Tb(1)-O(1)	0.233 9(3)	Tb(1)-O(2)#1	0.232 3(3)	Tb(1)-O(3)	0.235 8(3)
Tb(1)-O(3)#1	0.268 5(4)	Tb(1)-O(4)	0.238 9(4)	Tb(1)-O(5)	0.251 0(4)
Tb(1)-O(6)	0.243 1(4)	Tb(1)-N(1)	0.259 5(4)	Tb(1)-N(2)	0.254 9(4)
O(1)-Tb(1)-O(3)	78.94(12)	O(1)#1-Tb(1)-O(3)	68.39(11)	O(1)#1-Tb(1)-O(4)	82.81(13)
O(1)-Tb(1)-O(5)	74.48(13)	O(1)-Tb(1)-O(6)	126.02(13)	O(2)#1-Tb(1)-O(1)	136.92(12)
O(2)#1-Tb(1)-O(3)	71.45(12)	O(2)#1-Tb(1)-O(3)#1	75.04(12)	O(2)#1-Tb(1)-O(4)#1	91.50(14)
O(2)-Tb(1)-O(5)#1	124.48(13)	O(2)-Tb(1)-O(6)#1	84.45(13)	O(3)#1-Tb(1)-O(3)	77.47(12)
O(3)#1-Tb(1)-O(4)	128.27(13)	O(3)-Tb(1)-O(5)	75.06(13)	O(3)-Tb(1)-O(6)	88.68(13)
O(4)#1-Tb(1)-O(3)#1	50.82(11)	O(4)#1-Tb(1)-O(5)	143.57(13)	O(4)#1-Tb(1)-O(6)	139.27(13)
O(5)#1-Tb(1)-O(3)	137.14(12)	O(6)#1-Tb(1)-O(3)	158.01(12)	O(6)-Tb(1)-O(5)	51.61(13)
N(2)-Tb(1)-N(1)	63.95(14)				

Symmetry transformations used to generate equivalent atoms: #1: -x+2, -y, -z+2

表3 配合物2的主要键长和键角

Table 3 Selected bond lengths (nm) and angles (°) for complex 2

Tb(1)-O(1)	0.228 6(3)	Tb(1)-O(4)#1	0.230 9(3)	Tb(1)-O(3)	0.236 4(3)
Tb(1)-O(6)#1	0.234 4(3)	Tb(1)-O(5)	0.236 7(3)	Tb(1)-O(7)	0.242 6(4)
Tb(1)-N(1)	0.259 0(4)	Tb(1)-N(2)	0.258 3(3)		
O(1)-Tb(1)-O(3)	142.78(12)	O(1)-Tb(1)-O(5)	144.76(12)	O(1)-Tb(1)-O(4)#1	84.39(12)
O(1)-Tb(1)-O(6)#1	85.36(12)	O(1)-Tb(1)-O(7)	75.97(14)	O(6)#1-Tb(1)-O(3)	76.40(11)
O(3)-Tb(1)-O(5)	71.21(11)	O(3)-Tb(1)-O(7)	133.07(13)	O(4)#1-Tb(1)-O(3)	120.85(11)
O(4)#1-Tb(1)-O(5)	79.90(11)	O(4)#1-Tb(1)-O(6)#1	75.71(12)	O(4)#1-Tb(1)-O(7)	76.21(13)
O(5)-Tb(1)-O(7)	69.74(12)	O(6)#1-Tb(1)-O(5)	120.30(11)	O(6)#1-Tb(1)-O(7)	147.52(13)
N(2)-Tb(1)-N(1)	62.84(11)				

Symmetry transformations used to generate equivalent atoms: #1: -x+1, -y+1, -z+1.

2 结果与讨论

2.1 配合物[Tb(4-BrBA)₂(Phen)(NO₃)₂] (1)的结构

配合物1是具有反演中心的二聚体(图1a)。4个4-溴苯甲酸根以双齿桥联和三齿桥联两种配位

方式联结2个Tb³⁺离子,Tb1…Tb1A之间的距离为0.393 9 nm。每个Tb³⁺离子还与1个硝酸根和1个邻菲咯啉分子螯合配位,Tb³⁺离子的配位数为9。配合物1的结构与配合物[Ln(BA)₂(NO₃)(Phen)]₂^[9],[Eu(*m*-MOBA)₂NO₃Phen]₂^[10]和[Eu(2,3-MOBA)₂NO₃Phen]₂^[10]的

结构相似,表现出硝酸根参与配位、含邻菲咯啉的稀土-一元羧酸四元混配配合物的结构特征。中心金属离子的配位数为 9,2 个中心金属离子被 2 个双齿桥联和 2 个三齿桥联的羧基联结,硝酸根和邻菲咯啉分子均采取螯合方式与中心金属离子配位。 Tb^{3+} 离子的配位环境可描述为单帽四方反棱柱体

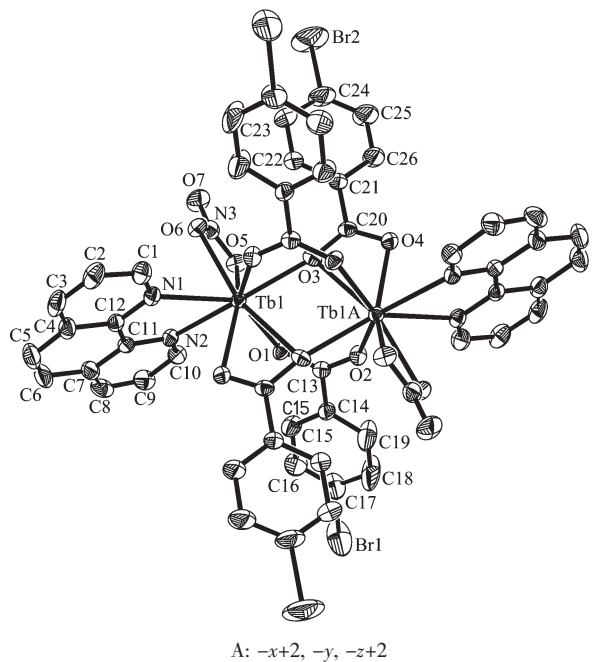


图 1a 配合物 1 的分子结构

Fig.1a Molecular structure of complex 1

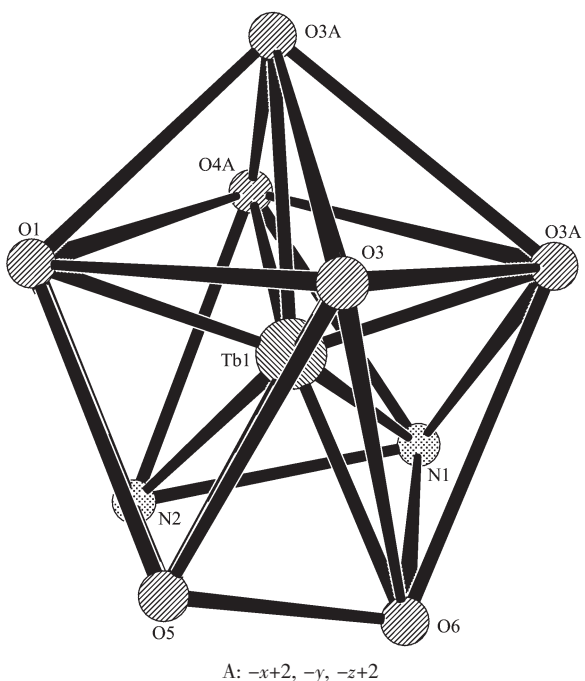


图 1b 配合物 1 的多面体图

Fig.1b Coordination polyhedron of complex 1

(图 1b),其中帽被螯合桥联羧基氧原子 O_{3A} 占据, $O_{4A}、O_1、O_3、O_{3A}$ 和 $N_1、N_2、O_5、O_6$ 分别构成单帽四方反棱柱的上底和下底,原子偏离上下平面平均距离分别为 0.010 097 和 0.022 13 nm,上底和下底的二面角为 5.4°。 $Tb1-O$ (羧基) 的键长范围为 0.232 3(3)~0.268 5(4) nm, 平均键长为 0.241 9 nm。 $Tb1-O(NO_3^-)$ 的键长为 0.251 0(4) 和 0.243 1(4) nm, 平均键长为 0.247 0 nm。 $Tb1-N$ 的键长为 0.259 5(4) 和 0.254 9(4) nm, 平均键长为 0.257 2 nm。

2.2 配合物 $[Tb(4-BrBA)_3(2,2'-bipy)(H_2O)]_2 \cdot 2H_2O$ (2) 的结构

配合物 2 的分子结构如图 2a 所示。4 个 4-溴苯甲酸根以双齿桥联方式联结 2 个 Tb^{3+} 离子,形成具有中心对称的双核分子,2 个 Tb^{3+} 离子之间的距离为 0.446 9 nm。 Tb^{3+} 离子的配位数为 8,其中 5 个氧原子来自 5 个 4-溴苯甲酸根,1 个氧原子来自 1 个水分子,2 个氮原子来自 1 个 2,2'-联吡啶分子。4-溴苯甲酸根以单齿和双齿桥联两种方式与 Tb^{3+} 离子配位。而在配合物 $[Tb(2-BrBA)_2(CH_3COO)(2,2'-bipy)]_2$ 中,2-溴苯甲酸根只采取双齿桥联一种方式与 Tb^{3+} 离子配位^[5];在配合物 $[Tb(3-BrBA)_3(2,2'-bipy)]_2 \cdot (3-HBrBA) \cdot (H_2O)$ 中,3-溴苯甲酸根以螯合双齿和桥联双齿两种方式与 Tb^{3+} 离子配位^[5]。说明苯环上取代基位置的不同可能会导致配合物结构的差异。配合物 2 中, Tb^{3+} 离子的配位环境可描述为扭曲的四方反棱柱(图 2b)。原子 $O_{6A}、O_{4A}、O_5、O_3$ 和 $N_1、O_1、O_7、N_2$ 分别构成四方反棱柱的上底和下底,原子偏离上下平面平均距离分别为 0.000 77 和 0.016 76 nm,上下两底的二面角为 3.4°。 $Tb1-O$ (羧基)的键长范围为 0.228 6(3)~0.236 7(3) nm, 平均键长为 0.233 4 nm。其中单齿配位的羧基氧与 Tb^{3+} 离子之间的距离(0.228 6(3) nm)最短。 $Tb1-O$ (水)的键长为 0.242 6(4) nm。 $Tb1-N$ 的键长为 0.259 0(4) 和 0.258 3(3) nm, 平均键长为 0.258 6 nm。另外,在配合物 2 中存在 1 个未配位的水分子,由于游离水分子的存在,导致配合物 2 分子中存在 3 种类型的氢键:未配位的水分子与单齿配位的 4-溴苯甲酸根中未配位的羧基氧之间形成的氢键, $O(8)-H(8A) \cdots O(2)$ 0.268 1(3) nm, 170°;游离水分子与双齿桥联配位的羧基氧之间形成的氢键, $O(8)-H(8B) \cdots O(3)$ 2.285 4(3) nm, 143°;配位水分子与游离水分子之间形成的氢键, $O(7)-H(7A) \cdots O(8)$ 0.262 2(3) nm, 172(5)°。分子间氢键将双核分子 2 连接成一维链状结构(图 2c)。

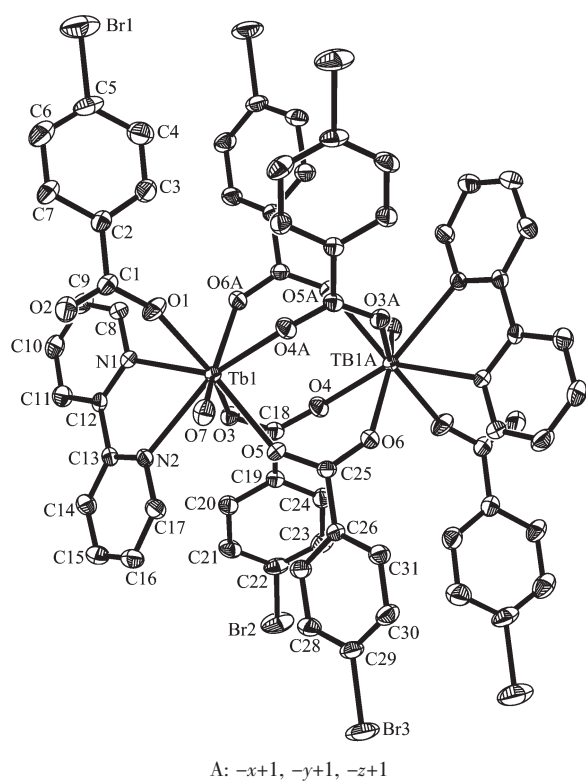


图 2a 配合物 2 的分子结构

Fig.2a Molecular structure of complex 2

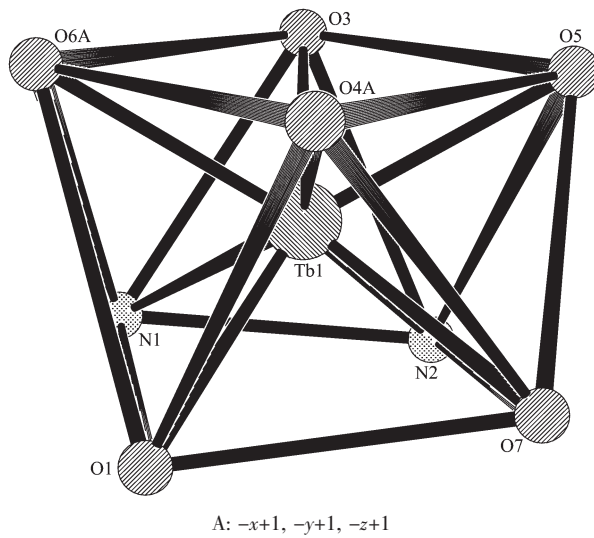


图 2b 配合物 2 的多面体图

Fig.2b Coordination polyhedron of complex 2

很明显,配合物 1 中的 Tb-O(羧基)键长大于配合物 2 中的 Tb-O(羧基)键长,而配合物 1 中的 Tb...Tb 距离小于配合物 2 中的 Tb...Tb 距离。这是由于在这 2 个配合物中羧基是以不同的配位方式联结 2 个 Tb³⁺离子。在这 2 个配合物中,羧基的配位方式和中心离子的配位环境的不同说明第二配体 2,2'-联

吡啶和邻菲咯啉的配位影响了配合物的结构。在配合物 2 中,2,2'-联吡啶的 2 个吡啶环基本上是共平面的,其二面角为 5.9°。2,2'-联吡啶与 Tb³⁺离子基本上是共平面,原子 N1、N2、C12、C13 和 Tb1 偏离平面平均距离为 0.00967 nm。在配合物 1 中,邻菲咯啉与 Tb³⁺离子基本上是共平面,原子 N1、N2、C12、C13 和 Tb1 偏离平面平均距离为 0.00707 nm。2,2'-联吡啶和邻菲咯啉分子均以螯合双齿的方式配位于金属离子而形成稳定的五元环,从而增大了体系的共轭程度。

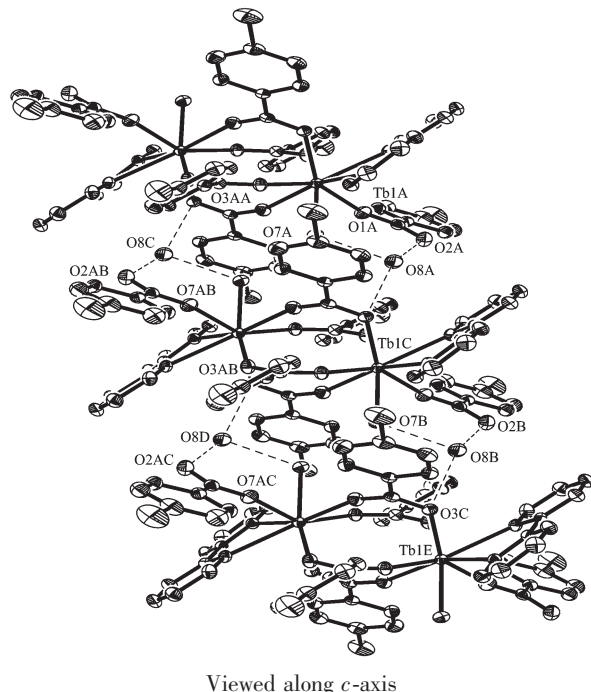


图 2c 配合物 2 的由氢键构筑的 1D 链状结构

Fig.2c 1D chain structure formed by hydrogen bonds of complex 2

2.3 紫外吸收光谱

以 *N,N*-二甲基甲酰胺为溶剂,Tb³⁺离子浓度为 $10^{-4} \text{ mol}\cdot\text{L}^{-1}$,记录配合物的紫外吸收光谱。配合物 1 和 2 的紫外吸收光谱较相似,分别在 284.0 nm($\epsilon=2.081\times 10^4$)和 280 nm($\epsilon=1.964\times 10^4$)处有 1 个强吸收峰,是由于配体的 $\pi-\pi^*$ 跃迁引起的。说明配体在紫外区有很好的吸收,与 Tb³⁺离子配位后能将能量传递给中心 Tb³⁺离子而发光。配合物 1 的紫外吸收强度大于配合物 2,这是因为邻菲咯啉参与配位的配合物比 2,2'-联吡啶参与配位的配合物具有更大的共轭体系。

2.4 荧光光谱

两种配合物在紫外灯下都发出强的绿光。室温

下,以332 nm和327 nm为激发波长,分别记录配合物**1**和**2**在400~650 nm范围内的发光光谱,如图3(a,b)所示。配合物**1**和**2**的荧光光谱较相似,在490、545、585和621 nm处出现4条谱线,分别对应于Tb³⁺离子的⁵D₄→⁷F₆、⁵D₄→⁷F₅、⁵D₄→⁷F₄和⁵D₄→⁷F₃跃迁。最强发射峰位于545 nm。配合物**1**的荧光强度大于配合物**2**,主要是由于配合物**2**中水分子的猝灭作用引起的。

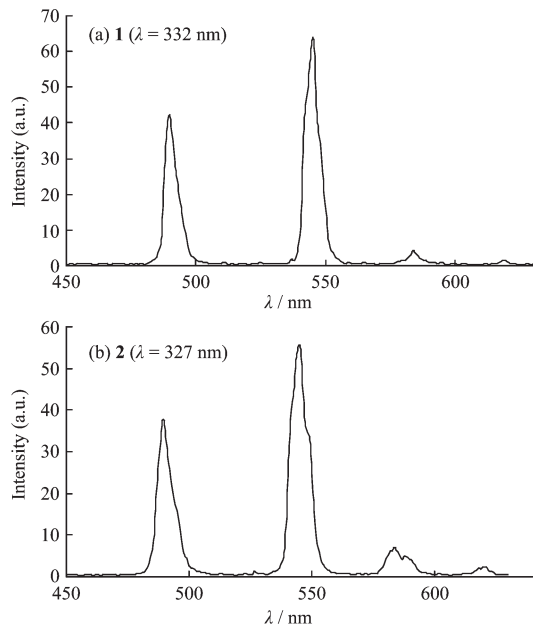


图3 配合物的荧光光谱

Fig.3 Fluorescence spectra of complexes

2.5 差热-热重分析

以Al₂O₃为参比,空气气氛,升温速度10℃·min⁻¹,由室温到1000℃记录配合物的DTA-TG曲线。

配合物**1**具有较好的热稳定性。在DTA曲线的225和330℃出现2个吸热峰,对应的TG曲线失重率为30.54%,相当于失去邻菲咯啉分子和硝酸根(理论失重率,30.24%)。在341和574℃处分别出现1个吸热峰和1个放热峰,对应配

合物中羧酸配体的氧化分解。总失重率为78.54%,最终残余物为Tb₄O₇(理论总失重率,76.67%)。

对于配合物**2**,由于游离水的存在,配合物**2**的初始分解温度较低。在DTA曲线的115、201和313℃各出现1个吸热峰,对应的TG曲线失重率为20.5%,相当于失去了游离水分子、配位水分子和2,2'-联吡啶分子(理论失重率为20.2%);在414和574℃处分别出现1个吸热峰和1个放热峰,对应配合物中羧酸配体的氧化分解。总失重率为83.01%,最终残余物为Tb₄O₇(理论总失重率,83.3%)。

参考文献:

- [1] Brett D C, David T C, George K H S. *J. Am. Chem. Soc.*, **2006**, *128*(32):10403~10412
- [2] Hu M, Wang Q L, Xu G F, et al. *Inorg. Chim. Acta*, **2007**, *360*:1684~1690
- [3] Beatriz B, Ricardo B, Maria T G, et al. *Inorg. Chim. Acta*, **2003**, *346*:187~196
- [4] Li X, Zhang Z Y, Zou Y Q. *Eur. J. Inorg. Chem.*, **2005**, *14*:2909~2918
- [5] LI Yan-Qiu(李艳秋), JU Yan-Ling(鞠艳玲), ZHANG Yan-Bin(张艳斌), et al. *Chinese J. Inorg. Chem. (Wuji Huaxue Xuebao)*, **2007**, *23*(6):969~974
- [6] JIN Lin-Pei(金林培), WANG Rui-Fen(王瑞芬), WANG Ming-Zhao(王明昭), et al. *Chem. J. Chin. Univ. (Gaodeng Xuexiao Huaxue Xuebao)*, **1993**, *14*:1195~1200
- [7] Li X, Zheng X J, Jin L P, et al. *J. Coord. Chem.*, **2000**, *51*:115~123
- [8] Wu B, Lu W M, Wu F F, et al. *Transition Met. Chem.*, **2003**, *28*:694~697
- [9] XIAN Chun-Ying(咸春颖), ZHU Long-Guan(朱龙观), YU Qing-Sen(俞庆森). *Chem. J. Chin. Univ. (Gaodeng Xuexiao Huaxue Xuebao)*, **1999**, *20*(10):1504~1508
- [10] Li X, Jin L P, Zheng X J, et al. *J. Mol. Structure*, **2002**, *607*:59~67